

# Спин-орбитальное смешивание в полупроводниках $A^{III}B^V$ в $\Gamma$ -точке

© В.Д. Дымников, О.В. Константинов

Физико-технический институт им. А.Ф. Иоффе Российской академии наук,  
Санкт-Петербург, Россия

E-mail: Dymnik@mail.ioffe.ru

(Поступила в Редакцию 10 июня 2008 г.)

В рамках пятизонной модели впервые проанализированы следствия теории спин-орбитального смешивания в полупроводниках  $A_3B_5$  в  $\Gamma$ -точке. Установлена формула для оптического матричного элемента, связывающего зоны  $\Gamma_7$  и  $\Gamma_8$ , выражающая его через известный параметр Латинжера  $q$ . До сих пор считалось, что этот оптический матричный элемент равен нулю, а переход запрещен. Обсуждается роль такого перехода в эксперименте по поглощению фотонов свободными дырками в  $p$ -GaSb.

PACS: 72.25.-b, 72.25.Dc, 81.05.Ea

## 1. Введение

Спиновые явления в полупроводниках в настоящее время играют исключительно важную роль в полупроводниковой наноэлектронике [1]. На основе этих явлений создано новое научное направление, называемое спинтроникой [2]. Поэтому представляется актуальным получение любой новой дополнительной информации о спиновых взаимодействиях в полупроводниках.

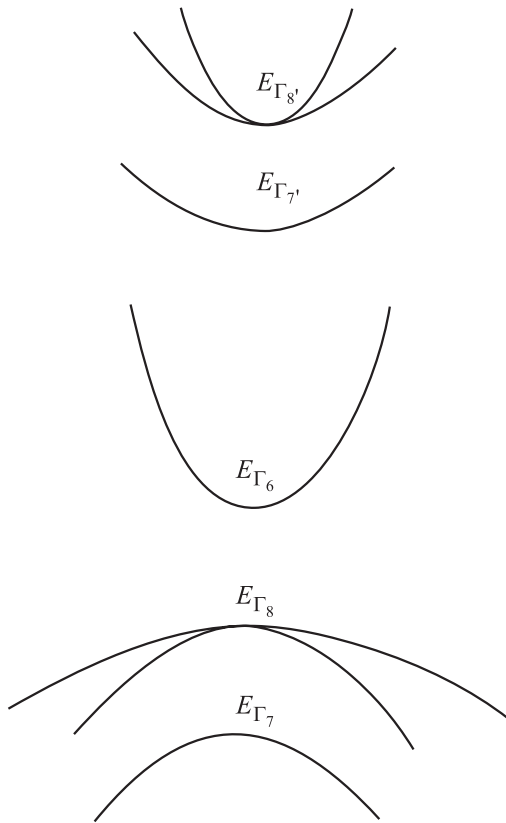
Настоящая работа посвящена малоизученному физическому явлению — эффекту спин-орбитального смешивания в полупроводниках тетраэдрической симметрии  $A^{III}B^V$  в центре зоны Бриллюэна. Обычно при изучении спин-орбитального взаимодействия в полупроводниках в центре зоны Бриллюэна его роль сводят к расщеплению энергетических уровней в  $\Gamma$ -точке. Однако спин-орбитальное взаимодействие в  $A^{III}B^V$  проявляется и в смешивании различных по симметрии координатных волновых функций электрона в  $\Gamma$ -точке [3]. На последнее обстоятельство обычно не обращают внимания, полагая его роль пренебрежимо малой, и именно на этом предположении строится широко используемая зонная модель Кейна [4]. Однако имеются ситуации, когда смешивание волновых функций играет определяющую роль. К их числу, например, относятся „запрещенные“ [5] оптические переходы  $\Gamma_7 \rightarrow \Gamma_8$  внутри валентной зоны и формирование существенно релятивистского параметра Латинжера  $q$  [6,7]. „Запрет“ на оптический переход  $\Gamma_7 \rightarrow \Gamma_8$  в  $A^{III}B^V$  следует из модели Кейна, не учитывающей спин-орбитального смешивания, хотя по симметрии этот переход разрешен. Экспериментальные данные работы [8], в которой изучалось оптическое поглощение не свободных дырок в  $p$ -GaAs, и теоретический анализ, проведенный в [9], указывают на возможную роль спин-орбитального смешивания в этом материале при переходах  $\Gamma_7 \rightarrow \Gamma_8$ . Недавние исследования поперечного  $g$ -фактора ( $g_{\perp}$ ) тяжелых дырок в квантовой яме GaAs/AlGaAs (001) [10] показали, что измеряемая величина  $g_{\perp}$  непосредственно связана с параметром Латинжера  $q$ , характеризующим объемные свойства GaAs и имеющим релятивистскую природу [7].

Удовлетворительного согласия с экспериментом в [10] удалось достичь только путем выхода за рамки модели Кейна и учета спин-орбитального смешивания.

Отмеченные выше экспериментальные факты послужили для авторов настоящей работы побудительным мотивом для более полного изучения явления спин-орбитального смешивания в полупроводниках  $A^{III}B^V$ , которое проводится с помощью нового подхода, разработанного авторами в [11,12]. Суть этого подхода заключается в том, что все оптические матричные элементы в  $\Gamma$ -точке и представление о многозонной энергетической схеме в  $A^{III}B^V$  в  $\Gamma$ -точке удается связать с экспериментально наблюдаемыми величинами (эффективными массами и  $g$ -факторами электронов). По этой причине вся информация о спин-орбитальном смешивании, полученная в настоящей публикации, опирается на известные экспериментальные данные.

## 2. Модель пяти зон

При исследовании спин-орбитального смешивания в материалах без центра инверсии  $A^{III}B^V$  мы будем пользоваться моделью зон в  $\Gamma$ -точке, представленной на рисунке. На этом рисунке обозначены валентные зоны  $\Gamma_7, \Gamma_8$ . С уходом от  $\Gamma$ -точки зона  $\Gamma_8$  расщепляется на подзоны тяжелых и легких дырок. Зона  $\Gamma_6$  — зона проводимости. Зоны  $\Gamma_7', \Gamma_8'$  — возбужденные зоны проводимости. Зона  $\Gamma_8'$  с удалением от центра зоны Бриллюэна расщепляется на две подзоны аналогично тому, как это происходит в валентной зоне. Зонная схема, приведенная на рисунке, является общепринятой многозонной моделью для соединений  $A^{III}B^V$  [13]. Принято считать, что зоны  $\Gamma_7, \Gamma_8, \Gamma_7', \Gamma_8'$  формируются из координатных функций представления  $\Gamma_4$ , т. е. описываются волновыми функциями  $p$ -типа, а зона  $\Gamma_6$  связана с представлением  $\Gamma_1$ , т. е. описывается волновой функцией  $s$ -типа [13]. Пространственная симметрия состояний в модели пяти зон анализировалась в работе [12], и там было показано, что она хорошо согласуется с известными экспериментальными данными (эффективными массами и  $g$ -факторами



Модель пяти зон для полупроводников  $A^{III}B^V$  в  $\Gamma$ -точке.

электронов), т.е. находит экспериментальное подтверждение. Энергии состояний в  $\Gamma$ -точке будем обозначать символами  $E_{\Gamma_n}$  ( $n = 1, 7, 8, 7', 8'$ ), где символ  $\Gamma_n$  соответствует определенной зоне.  $E_{\Gamma_6} - E_{\Gamma_8} = E_0$  — ширина запрещенной зоны,  $E_{\Gamma_8} - E_{\Gamma_7} = \Delta_0$ ,  $E_{\Gamma_8'} - E_{\Gamma_7'} = \Delta'_0$ ,  $\Delta_0$ ,  $\Delta'_0$  — энергии спин-орбитального расщепления. Здесь мы выпишем волновые функции зон, с которыми будем иметь дело в дальнейшем. Волновые функции в зоне  $\Gamma_7$  описывают двукратно вырожденные состояния, и их можно записать в виде

$$|\Gamma_7; M\rangle = |\Gamma_7(\Gamma_4); M\rangle, \quad M = \pm \frac{1}{2}, \quad (1)$$

где

$$\left\{ \begin{aligned} |\Gamma_7(\Gamma_4); \frac{1}{2}\rangle &= -\frac{1}{\sqrt{3}} [(x + iy)\beta + z\alpha], \\ |\Gamma_7(\Gamma_4); -\frac{1}{2}\rangle &= \frac{1}{\sqrt{3}} [z\beta - (x - iy)\alpha]. \end{aligned} \right. \quad (2)$$

В формулах (2)  $x, y, z$  — орбитальные гармоники  $p$ -типа,  $\alpha, \beta$  — спиновые функции  $\begin{pmatrix} 1 \\ 0 \end{pmatrix}$ ,  $\begin{pmatrix} 0 \\ 1 \end{pmatrix}$  соответственно.

Состояния в зоне  $\Gamma_8$  четырехкратно вырождены, и их волновые функции будем записывать следующим образом:

$$|\Gamma_8; M\rangle = |\Gamma_8(\Gamma_4); M\rangle, \quad M = \pm \frac{3}{2}, \pm \frac{1}{2}, \quad (3)$$

где

$$\left\{ \begin{aligned} |\Gamma_8(\Gamma_4); \frac{3}{2}\rangle &= -(x + iy) \frac{\alpha}{\sqrt{2}} \\ |\Gamma_8(\Gamma_4); \frac{1}{2}\rangle &= \frac{1}{\sqrt{3}} \left[ -(x + iy) \frac{\beta}{\sqrt{2}} + \sqrt{2}z\alpha \right] \\ |\Gamma_8(\Gamma_4); -\frac{1}{2}\rangle &= \frac{1}{\sqrt{3}} \left[ (x - iy) \frac{\alpha}{\sqrt{2}} + \sqrt{2}z\beta \right] \\ |\Gamma_8(\Gamma_4); -\frac{3}{2}\rangle &= (x - iy) \frac{\beta}{\sqrt{2}} \end{aligned} \right. \quad (4)$$

Обозначения здесь те же, что и в (2).

Волновые функции зоны  $\Gamma_7'$  соответствуют двукратно вырожденным состояниям. Они будут обозначаться символами

$$|\Gamma_7'; M\rangle = |\Gamma_7'(\Gamma_4'); M\rangle, \quad M = \pm \frac{1}{2}. \quad (5)$$

Функции  $|\Gamma_7'(\Gamma_4'); \frac{1}{2}\rangle$ ,  $|\Gamma_7'(\Gamma_4'); -\frac{1}{2}\rangle$  дается формулами (2), если заменить в последних  $x \rightarrow x'$ ,  $y \rightarrow y'$ ,  $z \rightarrow z'$ .

В зоне  $\Gamma_8'$  волновые функции описывают четырехкратно вырожденные состояния, они обозначаются символами

$$|\Gamma_8'; M\rangle = |\Gamma_8'(\Gamma_4'); M\rangle, \quad M = \pm \frac{1}{2}, \pm \frac{3}{2}, \quad (6)$$

где функции  $|\Gamma_8'(\Gamma_4'); M\rangle$  даются выражениями (3), (4), если заменить в последних  $x \rightarrow x'$ ,  $y \rightarrow y'$ ,  $z \rightarrow z'$ . В выражениях (5), (6)  $x', y', z'$  —  $p$ -гармоники, связанные с представлением  $\Gamma_4'$ . Из соображения удобства мы ввели для одного представления символы  $\Gamma_4$  и  $\Gamma_4'$  подобно тому, как введены обозначения  $\Gamma_8'$ ,  $\Gamma_7'$ ,  $\Gamma_8$ ,  $\Gamma_7$ .

### 3. Спин-орбитальное смешивание

Для описания эффектов, связанных со спин-орбитальным смешиванием, мы будем пользоваться моделью пяти зон, изображенной на рисунке. Как показано в работе [12], из экспериментальных фактов следует, что зоны  $\Gamma_7$ ,  $\Gamma_8$ ,  $\Gamma_7'$ ,  $\Gamma_8'$  формируются в основном из волновых функций  $p$ -типа. Эти зоны возникли в результате спин-орбитального расщепления состояния  $|\Gamma_4'\rangle$  в зоне проводимости и состояния  $|\Gamma_4\rangle$  — в валентной зоне. С другой стороны, тетраэдрическая симметрия позволяет спин-орбитальному взаимодействию не только расщеплять орбитальные состояния  $|\Gamma_4'\rangle$  и  $|\Gamma_4\rangle$ , но и смешивать их. Последнее обстоятельство приводит к тому, что в рамках рассматриваемой модели спин-орбитальное взаимодействие формирует смешанные состояния в валентной зоне и зоне проводимости, которые должны

описываться волновыми функциями вида

$$\left. \begin{aligned} |\Gamma_8; M\rangle &= C_{\Gamma_8\Gamma_4} |\Gamma_8(\Gamma_4); M\rangle + C_{\Gamma_8\Gamma_{4'}} |\Gamma_8(\Gamma_{4'}); M\rangle, \\ M &= \pm \frac{3}{2}, \pm \frac{1}{2} \\ |\Gamma_7; M\rangle &= C_{\Gamma_7\Gamma_4} |\Gamma_7(\Gamma_4); M\rangle + C_{\Gamma_7\Gamma_{4'}} |\Gamma_7(\Gamma_{4'}); M\rangle, \\ M &= \pm \frac{1}{2} \end{aligned} \right\}, \quad (7)$$

$$\left. \begin{aligned} |\Gamma_{8'}; M\rangle &= C_{\Gamma_{8'}\Gamma_{4'}} |\Gamma_{8'}(\Gamma_{4'}); M\rangle + C_{\Gamma_{8'}\Gamma_4} |\Gamma_{8'}(\Gamma_4); M\rangle, \\ M &= \pm \frac{3}{2}, \pm \frac{1}{2} \\ |\Gamma_{7'}; M\rangle &= C_{\Gamma_{7'}\Gamma_{4'}} |\Gamma_{7'}(\Gamma_{4'}); M\rangle + C_{\Gamma_{7'}\Gamma_4} |\Gamma_{7'}(\Gamma_4); M\rangle, \\ M &= \pm \frac{1}{2} \end{aligned} \right\}. \quad (8)$$

Волновые функции (7) относятся к валентной зоне, а волновые функции (8) описывают возбужденные состояния в зоне проводимости. Волновые функции (7), (8) получаются в результате диагонализации гамильтониана задачи, включающего спин-орбитальное взаимодействие

$$H_{s0} = \frac{\hbar}{4m^2c^2} \sigma(\nabla V \times \mathbf{p}), \quad (9)$$

на базисных функциях

$$\begin{aligned} |\Gamma_7(\Gamma_4); M\rangle \quad \text{и} \quad |\Gamma_{7'}(\Gamma_{4'}); M\rangle; \\ |\Gamma_8(\Gamma_4); M\rangle \quad \text{и} \quad |\Gamma_{8'}(\Gamma_{4'}); M\rangle. \end{aligned} \quad (10)$$

Тогда смешивание функций, описывающих разные состояния  $\Gamma_{4'}$  и  $\Gamma_4$ , будет обусловлено отличной от нуля недиагональной частью оператора (9)

$$\langle \Gamma_8(\Gamma_4); M | H_{s0} | \Gamma_{8'}(\Gamma_{4'}); M' \rangle = \frac{1}{3} \Delta^- \delta_{MM'}, \quad (11)$$

$$\langle \Gamma_7(\Gamma_4); M | H_{s0} | \Gamma_{7'}(\Gamma_{4'}); M' \rangle = -\frac{2}{3} \Delta^- \delta_{MM'}, \quad (12)$$

$$\Delta^- = i \frac{3\hbar}{4m^2c^2} \left\langle x \left| \frac{\partial V}{\partial x} p_y - \frac{\partial V}{\partial y} p_x \right| y' \right\rangle. \quad (13)$$

В формулах (9)–(13)  $\frac{1}{2} \sigma$  — оператор спина  $\frac{1}{2}$ ,  $V$  — кристаллический потенциал,  $\mathbf{p}$  — оператор импульса,  $m$  — масса электрона,  $c$  — скорость света,  $\delta_{MM'}$  — символ Кронекера.

Диагонализация гамильтониана в рассматриваемой нами модели приводит к следующему результату:

$$C_{\Gamma_8\Gamma_4} = C_{\Gamma_{8'}\Gamma_{4'}} = \sqrt{\frac{1 + \sqrt{1 - 4\delta_1^2}}{2}}, \quad (14)$$

$$C_{\Gamma_{8'}\Gamma_4} = -C_{\Gamma_8\Gamma_{4'}} = \frac{\delta_1}{\sqrt{\frac{1}{2}(1 + \sqrt{1 - 4\delta_1^2})}}, \quad (15)$$

$$C_{\Gamma_7\Gamma_4} = C_{\Gamma_{7'}\Gamma_{4'}} = \sqrt{\frac{1 + \sqrt{1 - 4\delta_2^2}}{2}}, \quad (16)$$

$$C_{\Gamma_7\Gamma_{4'}} = -C_{\Gamma_{7'}\Gamma_4} = \frac{\delta_2}{\sqrt{\frac{1}{2}(1 + \sqrt{1 - 4\delta_2^2})}}, \quad (17)$$

$$\delta_1 = \frac{1}{3} \frac{\Delta^-}{(E_{\Gamma_{8'}} - E_{\Gamma_8})}, \quad \delta_2 = \frac{2}{3} \frac{\Delta^-}{(E_{\Gamma_{7'}} - E_{\Gamma_7})}. \quad (18)$$

Вещественность коэффициентов смешивания (14)–(17) связана с выбором фаз в функциях (2), (4).

#### 4. Оптический матричный элемент, ответственный за „запрещенный“ переход $\Gamma_7 \rightarrow \Gamma_8$

Полученные в разделе 3 результаты позволяют вычислить оптический матричный элемент, соответствующий переходу  $\Gamma_7 \rightarrow \Gamma_8$ . В работе [14] было сформулировано правило отбора для обобщенного оператора импульса  $\pi$

$$\pi = \mathbf{p} + \mu(\sigma \times \nabla V), \quad \mu = \frac{\hbar}{4mc^2} \quad (19)$$

между состояниями  $|\Gamma_7; M_1\rangle$  и  $|\Gamma_8; M_2\rangle$ :

$$\begin{aligned} \langle \Gamma_7; M_1 | \mathbf{k}\pi | \Gamma_8; M_2 \rangle &= \left[ -\sqrt{\frac{10}{3}} k_{+1} C_{\frac{3}{2} M_2 21}^{\frac{1}{2} M_1} \right. \\ &\left. + \sqrt{\frac{5}{3}} k_0 \left( C_{\frac{3}{2} M_2 2-2}^{\frac{1}{2} M_1} - C_{\frac{3}{2} M_2 22}^{\frac{1}{2} M_1} \right) + \sqrt{\frac{10}{3}} k_{-1} C_{\frac{3}{2} M_2 2-1}^{\frac{1}{2} M_1} \right] C^{\Gamma_7\Gamma_8}, \end{aligned} \quad (20)$$

где

$$M_1 = \pm \frac{1}{2}, \quad M_2 = \pm \frac{3}{2}, \pm \frac{1}{2}.$$

В формуле (20)  $k_\alpha$  ( $\alpha = 0, \pm 1$ ) — циклические компоненты вектора квазиимпульса  $\mathbf{k}$ ,  $C_{j_1 m_1 j_2 m_2}^{j M}$  — коэффициенты Клебша–Гордана,  $C^{\Gamma_7\Gamma_8}$  — приведенный матричный элемент. Вывод правила отбора (20) приведен в [11], там же в явном виде получено выражение для элемента  $C^{\Gamma_7\Gamma_8}$ . Применительно к нашей ситуации, когда волновые функции в валентной зоне описываются выражениями (7), приведенный матричный элемент записывается в виде

$$C^{\Gamma_7\Gamma_8} = (C_{\Gamma_7\Gamma_{4'}} C_{\Gamma_8\Gamma_4} - C_{\Gamma_7\Gamma_4} C_{\Gamma_8\Gamma_{4'}}) Q', \quad (21)$$

где

$$Q' = -i \langle x | p_y | z' \rangle + \mu \left\langle x \left| \frac{\partial V}{\partial y} \right| z' \right\rangle. \quad (22)$$

Подставляя в (21) выражения коэффициентов смешивания (14)–(18), получаем окончательно

$$C^{\Gamma_7\Gamma_8} = \frac{\Delta^- Q' F}{\sqrt{(E_{\Gamma_{8'}} - E_{\Gamma_8})(E_{\Gamma_{7'}} - E_{\Gamma_7})}}, \quad (23)$$

где

$$F = \left( \frac{1}{3}f + \frac{2}{3f} \right), \quad f = \sqrt{2 \frac{\delta_1}{\delta_2} \frac{1 + \sqrt{1 - 4\delta_2^2}}{1 + \sqrt{1 - 4\delta_1^2}}}. \quad (24)$$

Выражение (23) является строгим результатом для приведенного матричного элемента в рассматриваемой модели. Учитывая, что второе релятивистское слагаемое в (22) много меньше первого слагаемого и величина  $F$  близка к единице, можно с хорошей точностью считать

$$C^{\Gamma_7\Gamma_8} = \frac{Q\Delta^-}{\sqrt{(E_{\Gamma_8'} - E_{\Gamma_8})(E_{\Gamma_7'} - E_{\Gamma_7})}}, \quad (25)$$

где

$$Q = -i \langle x | p_y | z' \rangle. \quad (26)$$

## 5. Связь матричного элемента $C^{\Gamma_7\Gamma_8}$ с параметром Латинжера $q$

В этом разделе мы установим связь матричного элемента  $C^{\Gamma_7\Gamma_8}$  с экспериментально наблюдаемыми величинами. В работах [9,11] были сформулированы правила для оператора импульса и выведены правила сумм для приведенных оптических матричных элементов в  $\Gamma$ -точке в  $A^{III}B^V$  с полным учетом тетраэдрической симметрии и спин-орбитального взаимодействия. Эти правила сумм связывают оптические матричные элементы с экспериментально наблюдаемыми величинами (эффективными массами и  $g$ -факторами). В работах [9,12] было показано, что эти правила сумм позволяют количественно оценивать важные матричные элементы и дают информацию о пространственной симметрии ближайших по энергии возбужденных состояний. Как показано далее, эти правила сумм позволяют связать матричный элемент  $C^{\Gamma_7\Gamma_8}$  с экспериментально наблюдаемыми величинами. Для наших целей важны суммы, которые выражаются через приведенные матричные элементы, связывающие зоны  $\Gamma_7$  и  $\Gamma_8$ ,  $\Gamma_8$  и  $\Gamma_8'$ . Первый матричный элемент есть  $C^{\Gamma_7\Gamma_8}$ , и он определяется правилами отбора (20). Матричные элементы, ответственные за переходы  $\Gamma_8 \rightarrow \Gamma_8'$ , определяются правилами отбора [11]

$$\langle \Gamma_8; M | \mathbf{k} \pi | \Gamma_8'; M' \rangle = \frac{1}{3} D_S^{\Gamma_8\Gamma_8'} (I^S)_{MM'} + \frac{1}{3} D_A^{\Gamma_8\Gamma_8'} (I^A)_{MM'},$$

$$M, M' = \pm \frac{3}{2}, \pm \frac{1}{2}. \quad (27)$$

Здесь  $I^S$  — эрмитова матрица  $4 \times 4$ , а  $I^A$  — антиэрмитова матрица  $4 \times 4$ . Эти матрицы можно записать через матрицы  $J_x, J_y, J_z$  момента  $J = \frac{3}{2}$

$$I^S = k_x \{ J_x, J_y^2 - J_z^2 \} + k_y \{ J_y, J_z^2 - J_x^2 \} + k_z \{ J_z, J_x^2 - J_y^2 \}, \quad (28)$$

$$I^A = i [k_x \{ J_y, J_z \} + k_y \{ J_z, J_x \} + k_z \{ J_x, J_y \}]. \quad (29)$$

В формулах (28), (29) символ  $\{ \dots \}$  означает антикоммутатор:  $\{A, B\} = AB + BA$ . Явный вид матриц  $J_x, J_y, J_z$ , а вместе с ними и  $I^S, I^A$  приведены в работе [11]. В формуле (27)  $D_S^{\Gamma_8\Gamma_8'}, D_A^{\Gamma_8\Gamma_8'}$  — приведенные матричные элементы, удовлетворяющие условиям

$$D_S^{\Gamma_8\Gamma_8'} = D_S^{\Gamma_8'\Gamma_8}, \quad D_A^{\Gamma_8\Gamma_8'} = -D_A^{\Gamma_8'\Gamma_8}. \quad (30)$$

В явном виде эти элементы представлены в [11].

Через названные выше приведенные матричные элементы выражаются суммы  $C_{\Gamma_8}, D_{\Gamma_8}^{(1)}, D_{\Gamma_8}^{(2)}, D_{\Gamma_8}^{(3)}$ , которые связывают зону  $\Gamma_8$  со всеми зонами представления  $\Gamma_7$  и со всеми другими зонами того же представления  $\Gamma_8$

$$C_{\Gamma_8} = \frac{1}{m} \sum_{\Gamma_7} \frac{(C^{\Gamma_7\Gamma_8})^2}{E_{\Gamma_8} - E_{\Gamma_7}}, \quad (31)$$

$$D_{\Gamma_8}^{(1)} = \frac{1}{m} \sum_{\Gamma_8'} \frac{(D_S^{\Gamma_8\Gamma_8'})^2}{E_{\Gamma_8} - E_{\Gamma_8'}},$$

$$D_{\Gamma_8}^{(2)} = \frac{1}{m} \sum_{\Gamma_8'} \frac{(D_A^{\Gamma_8\Gamma_8'})^2}{E_{\Gamma_8} - E_{\Gamma_8'}},$$

$$D_{\Gamma_8}^{(3)} = \frac{1}{m} \sum_{\Gamma_8'} \frac{D_S^{\Gamma_8\Gamma_8'} D_A^{\Gamma_8\Gamma_8'}}{E_{\Gamma_8} - E_{\Gamma_8'}}, \quad (32)$$

где  $m$  — масса электрона.

Введенные суммы (31), (32) входят в число сумм, через которые выражаются параметры Латинжера зоны  $\Gamma_8$ . В настоящей работе нас интересуют только суммы (31), (32), через которые выражается параметр  $q$ . В модели зон, в которой волновые функции зоны  $\Gamma_8$  формируются из координатных функций  $p$ -типа, выражение для  $q$  имеет вид [9]

$$q = -\frac{4}{9} C_{\Gamma_8} - \frac{2}{9} D_{\Gamma_8}^{(1)} + \frac{4}{9} D_{\Gamma_8}^{(2)} + \frac{2}{9} D_{\Gamma_8}^{(3)}. \quad (33)$$

Выражение (33) допускает упрощение в случае произвольной многозонной модели, обобщающей модель пяти зон, в которой зоны  $\Gamma_8', \Gamma_7', \Gamma_8, \Gamma_7$  устроены так же, как в пятизонной модели, а остальные зоны описываются волновыми функциями, сформированными из координатных функций конкретных пространственных представлений  $\Gamma_\alpha$  ( $\alpha = 1, 2, 3, 4, 5$ ). Используя явные выражения приведенных матричных элементов из работы [11], волновые функции состояний в зонах  $\Gamma_7, \Gamma_8, \Gamma_7', \Gamma_8'$ , соотношение (33) можно записать в виде

$$q = -\frac{4}{9} \frac{E_{\Gamma_7'} - E_{\Gamma_7}}{E_{\Gamma_7'} - E_{\Gamma_8}} \frac{(C^{\Gamma_7\Gamma_8})^2}{m\Delta_0} + \frac{4}{9} \frac{\Delta_0' Q^2}{m(E_{\Gamma_8'} - E_{\Gamma_8})(E_{\Gamma_7'} - E_{\Gamma_8})} + \frac{4}{9} \sum_{\Gamma_4''} \frac{\Delta_0'' (i \langle x_{\Gamma_8} | p_y | z'' \rangle)^2}{m(E_{\Gamma_8''} - E_{\Gamma_8})(E_{\Gamma_7''} - E_{\Gamma_8})}. \quad (34)$$

В формуле (34) первые два слагаемых в правой части соответствуют взаимодействию зоны  $\Gamma_8$  с зонами  $\Gamma_{7'}$ ,  $\Gamma_{8'}$ . Третье слагаемое в (34) описывает взаимодействие зоны  $\Gamma_8$  с более высокими возбужденными зонами  $\Gamma_{7''}$ ,  $\Gamma_{8''}$ , произошедшими в результате спин-орбитального расщепления от энергии состояния, относящегося к представлению  $\Gamma_{4''}$ , т.е. описывающегося волновыми функциями  $p$ -типа  $x''$ ,  $y''$ ,  $z''$ . Величина  $\Delta'_0 = E_{\Gamma_{8''}} - E_{\Gamma_{7''}}$  характеризует спин-орбитальное расщепление зоны  $\Gamma_{4''}$ . В формуле (34) под выражением  $|x_{\Gamma_8}\rangle$  понимается выражение

$$|x_{\Gamma_8}\rangle = C_{\Gamma_8\Gamma_4}|x\rangle + C_{\Gamma_8\Gamma_{4'}}|x'\rangle. \quad (35)$$

Вывод формулы (34) дан в Приложении. Из выражения (34) видно, что параметр Латинжера  $q$  является релятивистским и в рассматриваемой бесконечнозонной модели формируется исключительно за счет взаимодействия зоны  $\Gamma_8$  с зонами представлений  $\Gamma_7$ ,  $\Gamma_8$ , координатные волновые функции которых есть функции  $p$ -типа.

В модели пяти зон можно пренебречь третьим слагаемым в правой части (34) и, подставляя (23) с матричным элементом (26), получить выражение

$$q = \frac{4}{9} \frac{Q^2}{m(E_{\Gamma_{8'}} - E_{\Gamma_8})(E_{\Gamma_{7'}} - E_{\Gamma_8})} \left( \Delta'_0 - \frac{(\Delta^-)^2 F^2}{\Delta_0} \right). \quad (36)$$

Выражение (36) за счет множителя  $F^2$  является более точным, чем то, которое было получено в [10]. Из соотношения (34) следует выражение для матричного элемента  $C^{\Gamma_7\Gamma_8}$

$$\frac{(C^{\Gamma_7\Gamma_8})^2}{m\Delta_0} = \frac{9}{4} \frac{E_{\Gamma_{7'}} - E_{\Gamma_8}}{E_{\Gamma_{7'}} - E_{\Gamma_7}} (q_0 - q), \quad (37)$$

$$q_0 = \frac{4}{9} \frac{\Delta'_0 Q^2}{m(E_{\Gamma_{8'}} - E_{\Gamma_8})(E_{\Gamma_{7'}} - E_{\Gamma_8})}. \quad (38)$$

Выражение (38) в первом порядке по спин-орбитальному взаимодействию в теории возмущений совпадает с выражением для параметра  $q$ , полученным в [7]. Авторы [7] не учитывали спин-орбитальное смешивание. Ранее в работе [12] мы, опираясь на правила сумм [9,11], показали, что для ряда полупроводников  $A^{III}B^V$

$$\frac{Q^2}{(E_{\Gamma_{8'}} - E_{\Gamma_8})} \cong \frac{1}{4} (\gamma_1 - 2\gamma_2 + 3\gamma_3) - \frac{3}{4} k - \frac{51}{16} q. \quad (39)$$

Здесь  $\gamma_1, \gamma_2, \gamma_3, k, q$  — параметры Латинжера [6]. С другой стороны, величины  $\Delta_0, \Delta'_0$  как и энергии всех состояний, фигурирующих в (37), известны (см., например, [15]). Поэтому соотношение (37) можно считать выражением матричного элемента  $C^{\Gamma_7\Gamma_8}$  через экспериментально наблюдаемые величины. Видно, что элемент  $C^{\Gamma_7\Gamma_8}$  определяется вкладом в параметр  $q$ , формируемым исключительно спин-орбитальным смешиванием.

## 6. Коэффициент поглощения для оптических переходов $\Gamma_7 \rightarrow \Gamma_8$

Важным элементом новизны настоящей работы является тот факт, что рассмотрение зонной структуры полупроводников  $A^{III}B^V$  с учетом спин-орбитального смешивания позволяет вычислить коэффициент поглощения излучения внутри валентной зоны для оптических переходов  $\Gamma_7 \rightarrow \Gamma_8$  вблизи  $\Gamma$ -точки. Как отмечалось выше, такие переходы в  $\Gamma$ -точке считаются запрещенными и в оптических исследованиях не учитываются. В работе [9] было отмечено, что в ряду материалов, в которых спин-орбитальное смешивание может проявляться в большей степени, находится GaSb, и именно в этом материале наблюдалось аномальное большое поглощение излучения на свободных дырках [8]. Этот эксперимент теоретически не интерпретировался, и он привлек наше внимание, поскольку может иметь отношение к обсуждаемой теме. Мы попытаемся понять результаты работы [8] с позиции спин-орбитального смешивания.

Далее мы рассматриваем ситуацию, связанную с вырожденным материалом  $p$ -типа  $A^{III}B^V$ , когда уровень Ферми проходит ниже потолка валентной зоны и возможны прямые переходы из спин-отщепленной подзоны в подзоны легких и тяжелых дырок. Именно такая ситуация реализовалась в работе [8], в которой изучалось поглощение излучения в материале  $p$ -GaSb. Мы предполагаем, что дырки в зоне  $\Gamma_8$  свободны и полностью вырождены, а в зоне  $\Gamma_7$  они отсутствуют. В акте поглощения кванта света уничтожается свободная дырка  $a$  в зоне  $\Gamma_8$  и рождается новая дырка в зоне  $\Gamma_7$ , или электрон переходит из зоны  $\Gamma_7$  на свободное место в зоне  $\Gamma_8$ . При вычислении мы используем сферическую модель валентной зоны ( $\gamma_2 = \gamma_3$ ). Соответствующие волновые функции приведены в [4]. Производя вычисления по стандартной схеме [16] с использованием правил отбора (20), можно получить следующие результаты для коэффициентов поглощения в дипольном приближении.

При переходах из спин-отщепленной зоны в зону тяжелых дырок (переходы  $s \rightarrow h$ ) коэффициент поглощения  $\alpha_{s \rightarrow h}$  равен

$$\alpha_{s \rightarrow h} = \frac{4\sqrt{2}}{3} \frac{e^2}{\hbar^2 c n} \frac{(C^{\Gamma_7\Gamma_8})^2}{\sqrt{m\Delta_0}} \left( \frac{\mu_{sh}}{m} \right)^{\frac{3}{2}} \frac{\Delta_0}{\hbar\omega} \sqrt{\frac{\hbar\omega}{\Delta_0} - 1}. \quad (40)$$

Здесь и далее мы пренебрегаем линейным по  $\mathbf{k}$  расщеплением зоны  $\Gamma_8$ . Плотность состояний в зоне  $\Gamma_8$  предполагается соответствующей квадратичному по  $\mathbf{k}$  спектру, на что указывает эксперимент [17]. При переходах из спин-отщепленной зоны в зону легких дырок (переходы  $s \rightarrow l$ ) коэффициент поглощения  $\alpha_{s \rightarrow l}$  дается выражением (40) с заменой

$$(\mu_{sh})^{\frac{3}{2}} \sqrt{\frac{\hbar\omega}{\Delta_0} - 1} \rightarrow (\mu_{sl})^{\frac{3}{2}} \sqrt{1 - \frac{\hbar\omega}{\Delta_0}}. \quad (41)$$

В формулах (40), (41)  $e$  — заряд электрона,  $c$  — скорость света,  $n$  — показатель преломления,  $\omega$  — частота

света накачки,

$$\mu_{sh} = \frac{m_s m_h}{m_h - m_s}, \quad \mu_{sl} = \frac{m_s m_l}{m_s - m_l}, \quad (42)$$

$m_h$ ,  $m_l$ ,  $m_s$  — эффективные массы тяжелых, легких и отщепленных дырок. При выводе формул для  $\alpha_{s \rightarrow h}$  и  $\alpha_{s \rightarrow l}$  подразумевалось выполнение неравенств для эффективных масс дырок:  $m_l < m_s < m_h$ .

В работе [8] наблюдалось сильное поглощение ( $\alpha \approx 2 \cdot 10^3 \text{ cm}^{-1}$ ), сравнимое с собственным, в области частот, примыкающей к краю фундаментального поглощения в сильно легированном материале  $p$ -GaSb ( $N_a \approx 3 \cdot 10^{19} \text{ cm}^{-3}$ ). Было установлено, что эти частоты соответствуют переходам  $s \rightarrow h$ . Оценки показывают, что наблюдаемые значения и частотная зависимость коэффициента поглощения в [8] в области спектра, примыкающей к полосе фундаментального поглощения, не могут быть объяснены по стандартной схеме [16] с помощью одних только линейных по  $\mathbf{k}$  членов в оптическом матричном элементе. В связи с этим представляет интерес экспериментальная оценка параметра  $C^{\Gamma_7\Gamma_8}$  по результатам работы [8], если предположить, что соответствующие участки спектра формируются прямыми переходами  $s \rightarrow h$ , для которых коэффициент поглощения  $\alpha_{s \rightarrow h}$  дается выражением (40). Анализ показывает, что частотная зависимость коэффициента поглощения в длинноволновой части спектра, примыкающего к полосе фундаментального поглощения ( $0.78 < \hbar\omega < 0.85 \text{ eV}$ ), удовлетворительно описывается формулой (40), если принять в ней безразмерный параметр  $\frac{(C^{\Gamma_7\Gamma_8})^2}{m\Delta_0} = 0.3$ . В модели пяти зон этому значению соответствует матричный элемент  $C^{\Gamma_7\Gamma_8}$  (25) с параметром смешивания  $\Delta^- = 0.6 \text{ eV}$ . Оценки производились при значениях параметров  $n = 3.96$ ,  $m_h = 0.32m$ ,  $m_s = 0.15m$ . Значения других величин взяты из [9]. Существующая в литературе наиболее близкая к эксперименту теоретическая оценка параметра  $\Delta^-$  для GaSb равна  $0.4 \text{ eV}$  [18]. Близость двух оценок свидетельствует о том, что переходы  $\Gamma_7 \rightarrow \Gamma_8$  при  $k \rightarrow 0$  в  $p$ -GaSb нельзя считать заведомо пренебрежимо малыми, и их нельзя относить к разряду запрещенных. Мы не углубляемся дальше в ситуацию с экспериментом, описанным в [8], поскольку его детальному анализу будет посвящена отдельная работа. Будущие исследования оптических переходов  $\Gamma_7 \rightarrow \Gamma_8$  должны установить статус этих переходов для  $A^{III}B^V$ .

## Приложение

При выводе выражения (34) мы исходим из соотношения (33), в котором в правой части стоят суммы, составленные из приведенных матричных элементов. Сумма  $C_{\Gamma_8}$  характеризует связь зоны  $\Gamma_8$  со всеми другими

зонами представления  $\Gamma_7$

$$C_{\Gamma_8} = \frac{1}{m} \sum_{\Gamma_7} \frac{(C^{\Gamma_7\Gamma_8})^2}{E_{\Gamma_8} - E_{\Gamma_7}} = \frac{1}{m} \frac{(C^{\Gamma_7\Gamma_8})^2}{E_{\Gamma_8} - E_{\Gamma_7}} + \frac{1}{m} \frac{(C^{\Gamma_7'\Gamma_8})^2}{E_{\Gamma_8} - E_{\Gamma_7'}} + \frac{1}{m} \sum_{\Gamma_7''} \frac{(C^{\Gamma_7''\Gamma_8})^2}{E_{\Gamma_8} - E_{\Gamma_7''}}. \quad (П1)$$

Здесь первые два слагаемых соответствуют взаимодействию зоны  $\Gamma_8$  с валентной зоной  $\Gamma_7$  и зоной проводимости  $\Gamma_7'$ . Третье слагаемое учитывает взаимодействие зоны  $\Gamma_8$  со всеми выше расположенными зонами проводимости  $\Gamma_7''$ . Поскольку в нашей модели зона  $\Gamma_8$  характеризуется волновой функцией  $p$ -типа, все матричные элементы в (П1) связывают волновые функции зоны  $\Gamma_8$  с функциями других зон, сформированных только из координатных функций представления  $\Gamma_4$  [11]

$$C^{\Gamma_7\Gamma_8} = i \langle x_{\Gamma_7} | p_y | z_{\Gamma_8} \rangle, \quad (П2)$$

$$C^{\Gamma_7'\Gamma_8} = i \langle x_{\Gamma_7'} | p_y | z_{\Gamma_8} \rangle, \quad (П3)$$

$$C^{\Gamma_7''\Gamma_8} = i \langle x'' | p_y | z_{\Gamma_8} \rangle. \quad (П4)$$

Здесь  $x_{\Gamma_7}$ ,  $x_{\Gamma_7'}$ ,  $x''$  — орбитальные гармоники, описывающие зоны  $\Gamma_7$ ,  $\Gamma_7'$ ,  $\Gamma_7''$  соответственно,  $z_{\Gamma_8}$  — орбитальная гармоника, описывающая зону  $\Gamma_8$ . В формулах (П2)–(П4) отброшены малые релятивистские слагаемые, содержащие  $\mu$ .

В соответствии с нашей моделью

$$|x_{\Gamma_7}\rangle = C_{\Gamma_7\Gamma_4}|x\rangle + C_{\Gamma_7\Gamma_4'}|x'\rangle, \quad (П5)$$

$$|x_{\Gamma_7'}\rangle = C_{\Gamma_7'\Gamma_4}|x\rangle + C_{\Gamma_7'\Gamma_4'}|x'\rangle, \quad (П6)$$

$$|x_{\Gamma_8}\rangle = C_{\Gamma_8\Gamma_4}|x\rangle + C_{\Gamma_8\Gamma_4'}|x'\rangle. \quad (П7)$$

Матричный элемент (П2) дается формулой (21) с матричным элементом  $Q$  (26) вместо  $Q'$  (22). Матричный элемент (П3) легко вычисляется с помощью (П6), (П7)

$$i \langle x_{\Gamma_7'} | p_y | z_{\Gamma_8} \rangle = (C_{\Gamma_7'\Gamma_4'} C_{\Gamma_8\Gamma_4} - C_{\Gamma_7'\Gamma_4} C_{\Gamma_8\Gamma_4'}) Q. \quad (П8)$$

Из формул (21), (П8), (14)–(17) и нормировки волновых функций следует, что

$$(C^{\Gamma_7'\Gamma_8})^2 + (C^{\Gamma_7\Gamma_8})^2 = Q^2. \quad (П9)$$

Подставляя (П9) в (П1), получаем выражение для суммы  $C_{\Gamma_8}$

$$C_{\Gamma_8} = \frac{(C^{\Gamma_7\Gamma_8})^2}{m\Delta_0} \frac{E_{\Gamma_7'} - E_{\Gamma_7}}{E_{\Gamma_7'} - E_{\Gamma_8}} - \frac{Q^2}{m(E_{\Gamma_7'} - E_{\Gamma_8})} - \sum_{\Gamma_7''} \frac{(i \langle x'' | p_y | z_{\Gamma_8} \rangle)^2}{m(E_{\Gamma_7''} - E_{\Gamma_8})}. \quad (П10)$$

Суммы, связывающие зону  $\Gamma_8$  со всеми другими зонами того же представления, в рассматриваемой нами модели, в которой каждая зона относится к конкретному

координатному представлению, могут быть записаны следующим образом [11], [9], [12]:

$$D_{\Gamma_8}^{(1)} = \frac{2}{3} d_{\Gamma_8}(\Gamma_3) + \frac{4}{3} d_{\Gamma_8}(\Gamma_5), \quad (\text{П11})$$

$$D_{\Gamma_8}^{(2)} = d_{\Gamma_8}(\Gamma_4) + \frac{2}{3} d_{\Gamma_8}(\Gamma_3) + \frac{1}{3} d_{\Gamma_8}(\Gamma_5), \quad (\text{П12})$$

$$D_{\Gamma_8}^{(3)} = -\frac{2}{3} d_{\Gamma_8}(\Gamma_3) + \frac{2}{3} d_{\Gamma_8}(\Gamma_5), \quad (\text{П13})$$

где

$$d_{\Gamma_8}(\Gamma_4) = \frac{1}{m} \sum_{\Gamma_{8'}(\Gamma_4)} \frac{(i \langle x_{\Gamma_8} | p_y | z' \rangle)^2}{E_{\Gamma_8} - E_{\Gamma_{8'}}}, \quad (\text{П14})$$

$$d_{\Gamma_8}(\Gamma_3) = \frac{1}{m} \sum_{\Gamma_{8'}(\Gamma_3)} \frac{(i \langle x_{\Gamma_8} | p_x | \sqrt{\frac{3}{2}}(x^2 - y^2) \rangle)^2}{E_{\Gamma_8} - E_{\Gamma_{8'}}}, \quad (\text{П15})$$

$$d_{\Gamma_8}(\Gamma_5) = \frac{1}{m} \sum_{\Gamma_{8'}(\Gamma_5)} \frac{(i \langle x_{\Gamma_8} | p_y | \epsilon_3 \rangle)^2}{E_{\Gamma_8} - E_{\Gamma_{8'}}}. \quad (\text{П16})$$

Суммы (П14)–(П16) связывают зону  $\Gamma_8$  с другими зонами, произошедшими из зон  $\Gamma_4$ ,  $\Gamma_3$ ,  $\Gamma_5$  соответственно. Записывая выражение (33) через эти суммы, мы увидим, что параметр  $q$  формируется только суммами, связывающими зону  $\Gamma_8$  с другими зонами, описываемыми волновыми функциями  $p$ -типа,

$$q = -\frac{4}{9} C_{\Gamma_8} + \frac{4}{9} d_{\Gamma_8}(\Gamma_4). \quad (\text{П17})$$

Расписывая сумму (П14) аналогично тому, как мы делали для суммы  $C_{\Gamma_8}$ , и подставляя ее и (П1) в (П17), мы получаем выражение (34).

Авторы благодарят Е.Л. Ивченко за плодотворные дискуссии.

## Список литературы

- [1] Bigin Huang, Douwe J. Monsma, Ian Appelbaum. Phys. Rev. Lett. **99**, 177 209 (2007).
- [2] Ian Appelbaum, Bigin Huang, Douwe J. Monsma. Nature **447**, 295 (2007).
- [3] G. Dresselhaus. Phys. Rev. **100**, 2, 580 (1955).
- [4] E.O. Kane. J. Phys. Chem. Solids **1**, 249 (1957).
- [5] Р. Уиллардсон, А. Бир. Оптические свойства полупроводников. Мир, М. (1970). С. 188.
- [6] J.M. Luttinger. Phys. Rev. **102**, 4, 1030 (1956).
- [7] J.C. Hensel, K. Suzuki. Phys. Rev. Lett. **22**, 838 (1969).
- [8] Г.Н. Илуридзе, А.Н. Титков, Е.М. Чайкина. ФТП **21**, 1, 80 (1987).
- [9] В.Д. Дымников. ФТТ **47**, 4, 591 (2005).
- [10] X. Marie, T. Amand, P. Le Jeune, M. Pailard, P. Renucci, L.E. Golub, V.D. Dymnikov, E.L. Ivchenko. Phys. Rev. B **60**, 8, 5811 (1999).
- [11] В.Д. Дымников. ФТТ **43**, 11, 1957 (2001).
- [12] В.Д. Дымников, О.В. Константинов. ФТП **42**, 8, 934 (2008).
- [13] И.М. Цидильковский. Зонная структура полупроводников. Наука, М. (1978). С. 87.
- [14] В.Д. Дымников. III Всерос. конф. по физике полупроводников. Тез. докл. М. (1977). С. 211.
- [15] Landolt-Bornstein tables / Eds O. Madelung, M. Schulz, H. Weiss. Springer, Berlin (1982). V. 17a. 584 p.
- [16] А.И. Ансельм. Введение в теорию полупроводников. Наука, М. (1978). 615 с.
- [17] А.Н. Титков, Е.И. Чайкина, Э.М. Комова, Н.Г. Ермакова. ФТП **15**, 345 (1981).
- [18] M. Cardona, N.E. Christensen, G. Fasol. Phys. Rev. B **38**, 3, 1806 (1988).